

رخسارهای کربناتی در واحد شیلی سازندلالون: یافته‌های نو در ناحیه تویه-دروار (جنوب باختری دامغان)

نوشته: دکتر یعقوب لاسمی* و هادی امین‌رسولی*

Carbonate Facies of the Shale Unit of the Lalun Formation: New Findings in Tuyeh-Darvar Area (Southwest of Damghan)

By: Dr. Y. Lasemi* & H. Amin-Rasouli*

چکیده

واحد شیلی سازندلالون در ناحیه تویه-دروار (جنوب باختری دامغان) با ناپیوستگی هم‌شیب روی واحد زیرین سازندلالون جای دارد و به گونه تدریجی به واحد کوارتزیت بالایی تبدیل می‌شود. واحد یادشده دارای رخسارهای تخریبی و دو افق کربناتی (کمتر از ۲ متر) است. در افقهای کربناتی، رخسارهای باندستون میکروویولیتی و گرینستون اثوبیدی دولومیت شده شناسایی شده است. این نهشته‌ها در مرحله آغازین پیشروی آب دریا (سرانجام کامبرین پیشین)، پس از نابودی زیستی جهانی کامبرین پیشین، در محیط خلیج دهانه‌ای وابسته به حاشیه واگرای شمال باختری گندوانا پدید آمده‌اند.

کلید واژه‌ها: سازندلالون، واحد شیلی، واحد کوارتزیت بالایی، خلیج دهانه‌ای، بیوه‌رم، چینه‌نگاری توالی.

Abstract

The shale unit of the Lalun Formation in Tuyeh-Darvar area (Southwest of Damghan) is unconformably underlain by the sandstone unit and is gradationally overlain by Top Quartzite unit of the Lalun Formation. The shale unit of the Lalun Formation is composed of siliciclastic facies and two carbonate horizons (less than two meters thick) in the lower part of the shale unit. These carbonate horizons include dolomitized microbialite and ooid grainstone facies, which were deposited in a estuarine environment of the northwestern passive margin of Gondwana, following late Early Cambrian mass extinction.

Key words: Lalun Formation, Shale unit, Top Quartzite unit, Estuary, Bioherm, Sequence Stratigraphy.

مقدمة

جای دارد (شکل ۲a). افزون بر بیوه‌مهای یاد شده، ساخت ترکهای سینه‌رسیس، خرد فسیل تریلویتی، خرد فسیل فسفاتی، دانه‌های پیزوبید تخریبی و دانه‌های اثوبید با فابریک مماسی و شعاعی (شکل ۲c) دیده می‌شوند. این نهشته‌ها به سوی بالا به تناوب شیل و ماسه‌سنگ (شکل ۲f) و سپس به واحد ماسه‌سنگ کوارتزیت بالایی تغییر می‌کنند. مرز بالای واحد کوارتزیت بالایی نیز با بخش ۱ سازند میلاناپیوستگی فراسایشی/لاتریتی است (Lasemi, 1995؛ لاسمی و امین‌رسولی، ۱۳۷۹، ۱۳۸۱a و ۱۳۸۱b؛ راستگار، ۱۳۷۹). این نهشته‌ها در محیط رسوبی خلیج دهانه‌ای (Dalrymple et al., 1992) وابسته به حاشیه واگرای (لاسمی، ۱۳۷۸ و ۱۳۷۹) شمال باختری گندوانا (Seslavinskey & Maidanskaya, 2001) پدید آمده‌اند. هدف از

واحد شیلی سازندلالون (Assereto, 1963) در نزدیکی ناحیه تویه-دروار (خاور البرز مرکزی) (شکل ۱) بررسی شده است. این واحد در برگیرنده ۳۵ متر شیل رنگین (سرخ تیره، سبز تا خاکستری) با میان لایه‌هایی از ماسه‌سنگ است (شکل ۲a). در بررش تویه-دروار در بالای واحد ماسه‌سنگی سازندلالون، با ناپیوستگی همشیب، لایه‌ای از ماسه‌سنگ قلوه‌ای (قلوه‌های چرت سیاه رنگ) به سمت‌برای ۵۰ سانتی‌متر با آشفتگی زیستی (Bioturbation) فراوان (شکل ۲b, c) و ترکهای سینه‌رسیس (Synearesis crack) (شکل ۲d) دیده می‌شود (Collinson & Thompson, 1989). امین‌رسولی، ۱۳۷۸؛ لاسمی و امین‌رسولی، ۱۳۷۹، ۱۳۸۱a، ۱۳۸۱b و ۱۳۸۲. بر روی این لایه، شیلهای رنگی با دو افق بیوه‌رمی دولومیت شده

پوشیده شده‌اند (شکل‌های ۵e,f و ۶a). میان میکروبیولیتها را دانه (شکل ۶b)، گل، سیمان و کانی اتی‌ژن سلنتیت (شکل ۶c) پر کرده است. دانه‌ها، کربناته (بیشتر ایلید) و سیلیسی-آواری (کوارتز و خرده‌های شیلی) هستند (شکل ۶b,d). در پایین بیوه‌رهای افق دوم رخساره اثوییدی قلوه دار (رخساره A) دیده می‌شود و به ترتیب با ترکهای گلی ارتوگونال و سینه‌رسیس (شکل ۷b) پوشیده شده‌اند.

بیوه‌رهای میکروبیولیتی به طور معمول در زمان پیشروی ناگهانی و تند دریا رشد و گسترش می‌یابند (لامسی و همکاران, ۱۳۷۷; Brett, 1995; Glumac & Walker, 1997). چنین شرایطی در زمان پدید آمدن واحد شیلی نیز وجود داشته است و با پیشروی تند و ناگهانی دریا، پس از رخداد نابودی زیستی جهانی در سرآغاز تیونین (Rowland & Gangloff, 1997)، رودخانه‌های پدید آورند سازند لالون (لامسی، ۱۳۷۹) عقب کشیده، شرایط لازم برای پدیدار شدن بیوه‌رمها را فراهم کرده است (لامسی و امین رسولی، ۱۳۷۹). بیوه‌رهای یاد شده به گونه سدی در برابر جریانها عمل نموده و در محیط آرام پشت آنها به سوی خشکی رسوب گلی انباسته شده است. رشد ریفها در بخش جلویی نسبت به بخش پشتی بیشتر است. این اختلاف رشد، باعث ساخته شدن شب نخستین ریفها شده است. شب این ریفها به لغزش گلهای روی آنها (Soudry & Weissbrod, 1995) و پدیدار شدن ترکهای ارتوگونال انجامیده است. افت سطح دریا و هجوم آب رودخانه‌ها افزون بر تغییر شیمی آب دریا و پدید آمدن ترکهای سینه‌رسیس در شیلها رنگی، به فرسایش سطح بالای تعدادی از بیوه‌رمها انجامیده است (شکل ۵a). تغییر عمودی بیوه‌رمها (e.g., Rees et al., 1989) (ناشی از تغییر سطح دریا است. تغییر جانبی بیوه‌رهای این افق، نیز، بیانگر تغییر جانبی ژرفای (James, 1983) و پدید آمدن آنها در محیط کانالی است (Koerschner & Read, 1989). محیط رسوبی افقهای کربناته واحد شیلی بخش میانی خلیج دهانه‌ای پیشنهاد شده است (لامسی و امین رسولی، ۱۳۸۲). محیط پدید آمدن رخساره‌های همسان با رخساره‌های واحد شیلی حاشیه ساحلی (Shoreface) پریده شده با کانالهای جزر و مدمی (Soudry & Weissbrod, 1995) و آبهای کم ژرف و به طور متوسط پر ارزی (Rowland, 1984) (بیان شده است).

چینه‌نگاری توالی

چینه‌نگاری توالی (Sequence Stratigraphy) شاخه‌ای نوین از چینه‌نگاری است که بر پایه شناسائی رخساره‌های، محیط‌های رسوبی و تغییرات عمودی آنها، ستونهای چینه‌شناختی را به واحدهای زمان چینه‌ای که با ناپیوستگی‌ها یا پیوستگی هم ارز آنها

این نوشته، بررسی رخساره‌های کربناتی واحد شیلی سازند لالون در ناحیه تویه- درواز است.

شرح و تفسیر رخساره‌های کربناتی

رخساره‌های کربناتی واحد شیلی که برای نخستین بار امین رسولی (۱۳۷۸) و لامسی و امین رسولی (۱۳۷۸) گزارش کرده‌اند، به شرح زیر است:

رخساره A (گرینستون اثوییدی قلوه‌دار دولومیتی شده)

(Dolomitized pebbly ooid grainstone)

رخساره A از اثویید و قلوه‌های شیلی سبزرنگ پدید آمده است. فرایند دیاژنز سبب ازین بردن فابریک نخستین اثوییدها شده و فقط در برخی بخشها اثوییدها و یا سایه‌ای از آنها باقی مانده است (شکل ۳). این رخساره لايه‌بندی مورب دارد. به دلیل حضور اثویید و بافت گرینستونی، مکان پدید آمدن رخساره A محیط‌های پرانژی کانالهای جزر و مدی در شرایط بیشترین پیشروی سطح دریا، تفسیر شده است.

رخساره B (باندستون میکروبیولیتی دولومیتی، microbialite boundstone)

میکروبیولیت واژه‌ای فرآگیر برای بیان نهشته‌های رسوبی ارگانیکی (Burner and Moore, 1987) است که در نتیجه فعالیتهای میکروبی ساخته می‌شود (Riding, 1991, 2002). میکروبیولیتها در نهشته‌های کربناته واحد شیلی سازند لالون رخساره باندستون میکروبیولیتی را ساخته‌اند. این رخساره به گونه بیوه‌رم در دو افق جداگانه پدیده می‌شود. میکروبیولیتهای واحد شیلی سازند لالون دولومیتی و دارای فابریکهای لامینه‌ای و بدون لامینه هستند.

نخستین افق بیوه‌رمی واحد شیلی به گونه پیکرهای جدا از هم به پهنهای ۱۰-۵۰ سانتی‌متر و با تغییر جانبی و عمودی ضعیف است (شکل ۴a). در بخش پایین این بیوه‌رمها، رخساره میکروکنگلومرا جای دارد. بر روی این رخساره، تناوب میکروبیولیتهای لامینه‌ای با رخساره گرینستون دولومیتی (شکل ۴b) پدیده می‌شود. توالی یاد شده با میکروبیولیتهای بدون لامینه‌ای پایان می‌یابد. ساز و کار میکروبیولیتهای لامینه‌ای به سخت شدن بستر و ساختن تکیه‌گاه انجامیده است (شکل ۴b,c). نهشته‌های گرینستونی، نیز، ناشی از ساز و کار طوفان هستند.

دومین افق بیوه‌رمی (به سمتراز ۲ متر) (شکل ۵a) واحد شیلی به گونه چسبیده به هم (شکل ۵b) و جدا از هم است. (شکل ۵c,d).

این افق، در بردارنده تغییر جانبی و عمودی (James, 1983; Flügel & Kiessling, 2002) ناحیه تویه- درواز بیوه‌رم‌های چسبیده به هم به سوی جوانب به بیوه‌رمها

جدا از هم تغییر می‌کنند. بیوه‌رم‌های یاد شده در بخش زیرین، دارای میکروبیولیتهای بدون لامینه‌اند و به سوی بالا با لامینه‌های میکروبیولیتی

چرخه یاد شده واحد شیلی در سکوهای کربناته گزارش شده‌اند (e.g., Bourque et al., 1995; Emery & 1996; Myres, 1996).

نتیجه‌گیری

- واحد شیلی با ناپیوستگی همیشیب روی واحد زیرین سازند لالون جای دارد. در این مرز، لایه ماسه‌سنگی قلوه‌دار با آشفتگی زیستی فراوان و ساخت ترکهای سینه‌رسیس در بالای آن دیده می‌شود. مرز بالای واحد شیلی با کوارتزیت بالایی تدریجی است (امین رسولی، ۱۳۷۸؛ لاسمی و امین رسولی، ۱۳۷۹، ۱۳۷۸). (۱۳۸۲)

- در داخل نهشته‌های شیلهای رنگی، دو افق بیوهرمی جای دارند. این بیوهرمهای در هنگام پیشروی آب دریا پدید آمده‌اند. بیوهرمهای افق نخست، در یک چرخه دسته پنجم وابسته به دسته رخساره‌ای TST و بیوهرمهای افق دوم در یک چرخه دسته چهارم وابسته به دسته رخساره‌ای بخش آغازین HST از یک توالی رسوبی (لامسی و امین رسولی، ۱۳۸۲) ساخته شده‌اند.

- شروع رشد بیوهرمهای (Start up) و رشد عمودی آنها (Catch up) در هنگام پیشروی، رشد جانی بیوهرمهای (Keep up) در هنگام کند شدن و سکون نسبی، و فاز فرسایش بخش بالایی بیوهرمهای در هنگام افت سطح دریا در بیوهرمهای افق دوم قابل شناسایی است.

- بیوهرمهای میکروبیولیتی به طور معمول در محیط بین جزر و مد پایینی تا زیر جزر و مد بالایی در هنگام پیشروی ناگهانی و تند دریا، پس از نابودی زیستی جهانی، رشد و گسترش می‌یابند (Brett, 1995; Glumac&Walker, 1997). چنین شرایطی در واحدهای شیلی نیز وجود داشته است (۱۳۷۷). چنین نخستین نابودی زیستی جهانی در تیونین و پس از نخستین نابودی زیستی جهانی در زیتون (Rowland & Gangloff, 1988) بخش ۱ سازند میلا در شهریزاد (لامسی، ۱۳۷۹)، سازند الیکا در البرز (طهماسبی، ۱۳۷۶) سازند کنگان در زاگرس (لامسی و همکاران، ۱۳۷۷) و منطقه Elat (Soudry & Weissbrod, 1995) نیز پس از مرز ناپیوسته در آغاز پیشروی دریا پدید آمده‌اند.

- گوناگونی رنگ شیلهای (Davis, 1985) و ساخت ترکهای (e.g., Collinson & Thompson, 1989) در واحد سینه‌رسیس (e.g., Forteaue, 1981) شیلی نشان دهنده پدید آمدن آنها در محیط خلیج دهانه‌ای است. بنابراین، بیوهرمهای واحد شیلی (Dalrymple et al., 1992) سازند لالون در آبهای نرمال تلب شور ساخته شده‌اند. بیوهرمهای سازند نیز در چنین شرایطی پدید آمده‌اند (Debrenne & James, 1981).

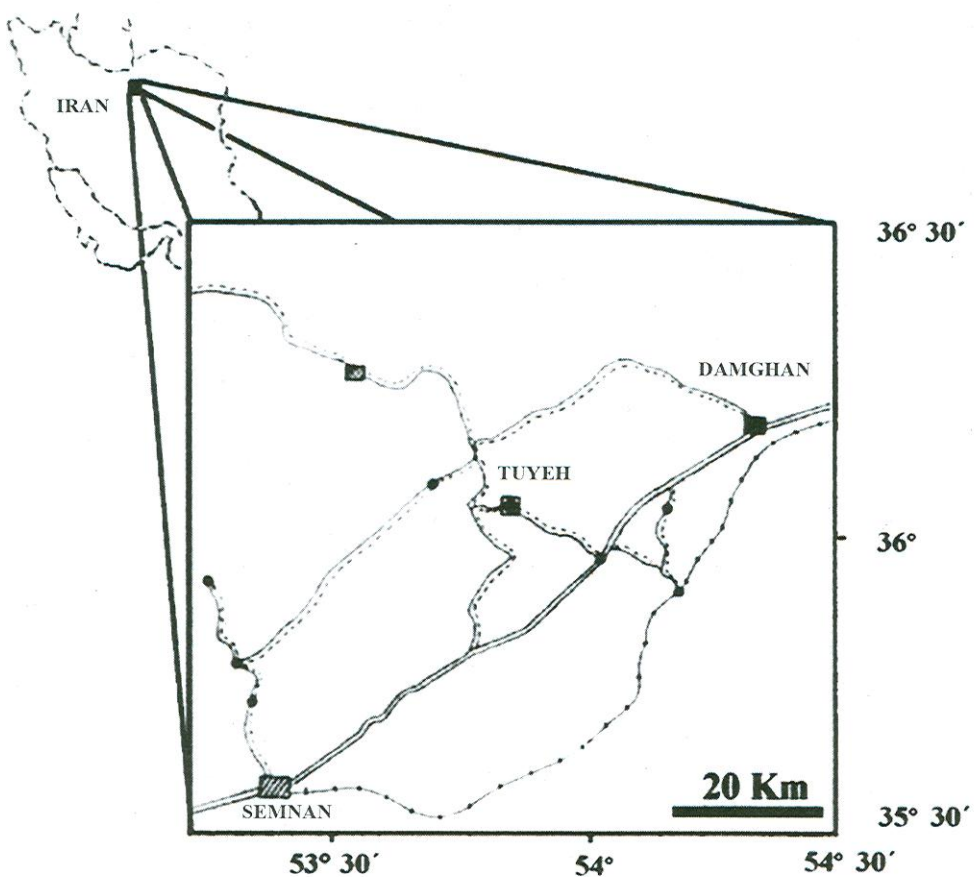
- با اینکه افکاهای بیوهرمی واحد شیلی در نواحی نزدیک دیده نشده‌اند،

محدود می‌شود، تقسیم می‌کند. هر واحد (سکانس) از دسته‌های رسوبی پیش روند (Transgressive systems tract)، کند شدن (Early highstand systems tract)، پیشروی و سکون نسبی (Late highstand systems tract) و پایین ترین سطح دریا (Lowstand systems tract) ساخته شده است (لامسی، ۱۳۷۹؛ Plint & Nummedal, 2000; Miall, 2000؛ Hunt & Tucker, 1995؛ Emery & Myers, 1996؛ Vail et al., 1977؛ Haq et al., 1988؛ بر پایه بررسی چینه نگاری توالی، واحدهای شیلی و کوارتزیت بالایی سازند لالون افکاهای بیوهرمی واحد شیلی، نیز، وابسته به دسته رخساره‌ای HST و TST آغازین از یک توالی رسوبی (چرخه دسته سومی) (لامسی و امین رسولی، ۱۳۸۲) هستند.

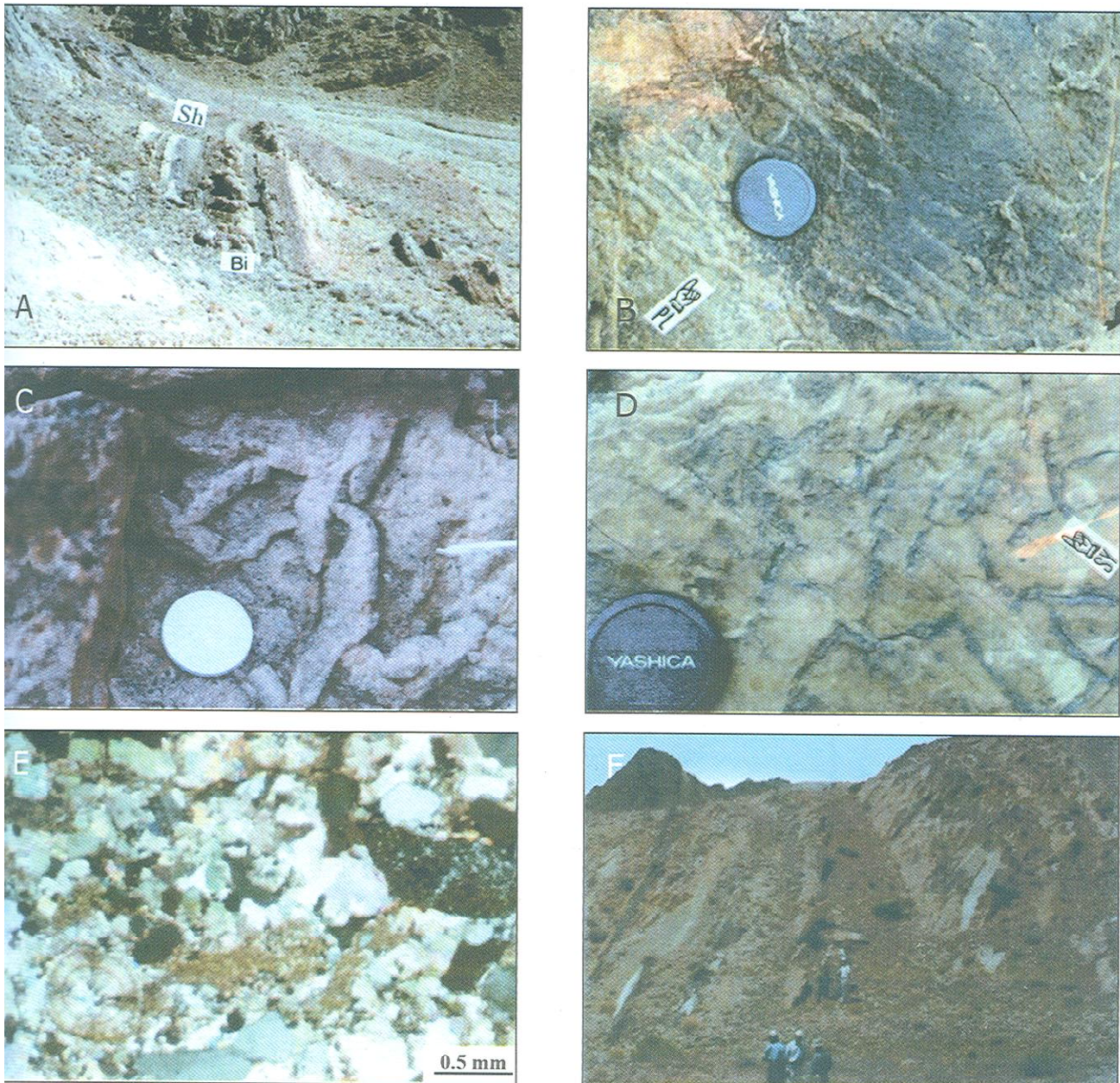
بیوهرمهای افق نخست واحد شیلی سازند لالون در یک چرخه دسته پنجم وابسته به دسته رخساره‌ای TST ساخته شده‌اند. نهشته‌های وامانده در هنگام پیشروی (Flooding)، سخت شدن بستر در زمان وقفه رسوبی (Lag time)، رشد بیوهرمهای پس از رسوب دانه‌ها و پدید آمدن شرایط نزدیک به نرمال دریایی، و رخساره‌های بخش آغازین محیط خلیج دهانه‌ای در هنگام به پیش نشینی (Progradation) (بخشهای کم ژرفابر روی بیوهرمهای پدید آمده‌اند).

بیوهرمهای افق دوم، نیز، در یک چرخه دسته چهارم (Brown, 1993) وابسته به دسته رخساره‌ای HST آغازین از یک توالی هستند. در این چرخه نهشته‌های وامانده (رخساره گرینستون اتوییدی قلوه‌دار)، شروع رشد بیوهرمهای (Start up) و رشد عمودی آنها (Catch up) در هنگام پیشروی ساخته شده‌اند. در هنگام Catch up رشد عمودی ریف‌سازها زیاد است و سنتونهای بیوهرمی بانواحی میان آنها (Kennedy & Woodroffe, 2002) پدید آمده‌اند. با کند شدن آنکه بالا آمدن سطح دریا و سکون نسبی آن (Zinke et al., 2003) بیوهرمهای به سطح دریا رسیده و رشد عمودی آنها کاهش (Koerschner & Read, 1989) پیدا کرده است. با افت رشد عمودی، بخش بالایی بیوهرمهای رشد جانی (Keep up) نموده و پس از چسیدن به هم‌یگر بیوهرمهای چسیده به هم و چند تایی پدیدار شده‌اند. رسیدن سطح بالایی بیوهرمهایها به نزدیک سطح دریا به تغییر شرایط فیزیکی و شیمیایی محیط (Rowland & Gangloff, 1988) و پدیدار شدن میکروبیولیتی لامینه‌ای (مرحله اوج) انجامیده است. با آغاز افت سطح دریا، فضای اباحت رسوب کاهش یافته و سطح رویی ریفها فرسایش یافته‌اند (Kennedy & Woodroffe, 2002).

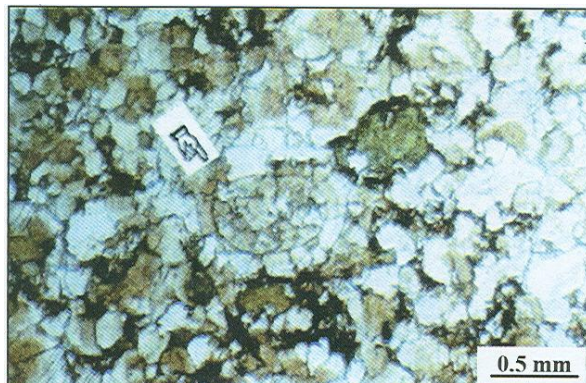
بررسیهای بیشتر واحد شیلی برای تشخیص افقهای یاد شده، پیشنهاد می شود.



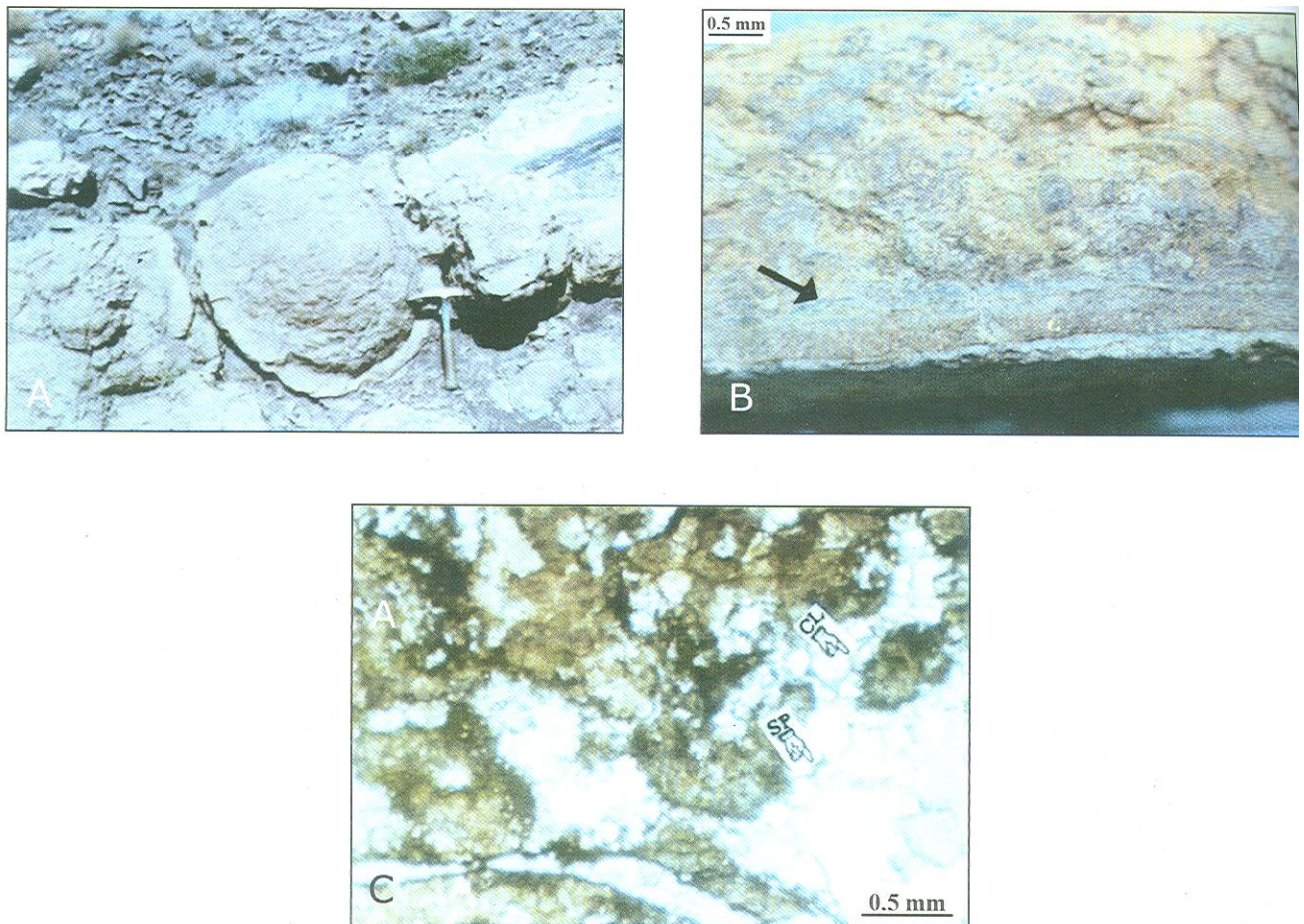
شکل ۱: جایگاه جغرافیایی ناحیه تویه درواز (گرفته شده از اطلس راههای ایران، ۱۳۸۰).



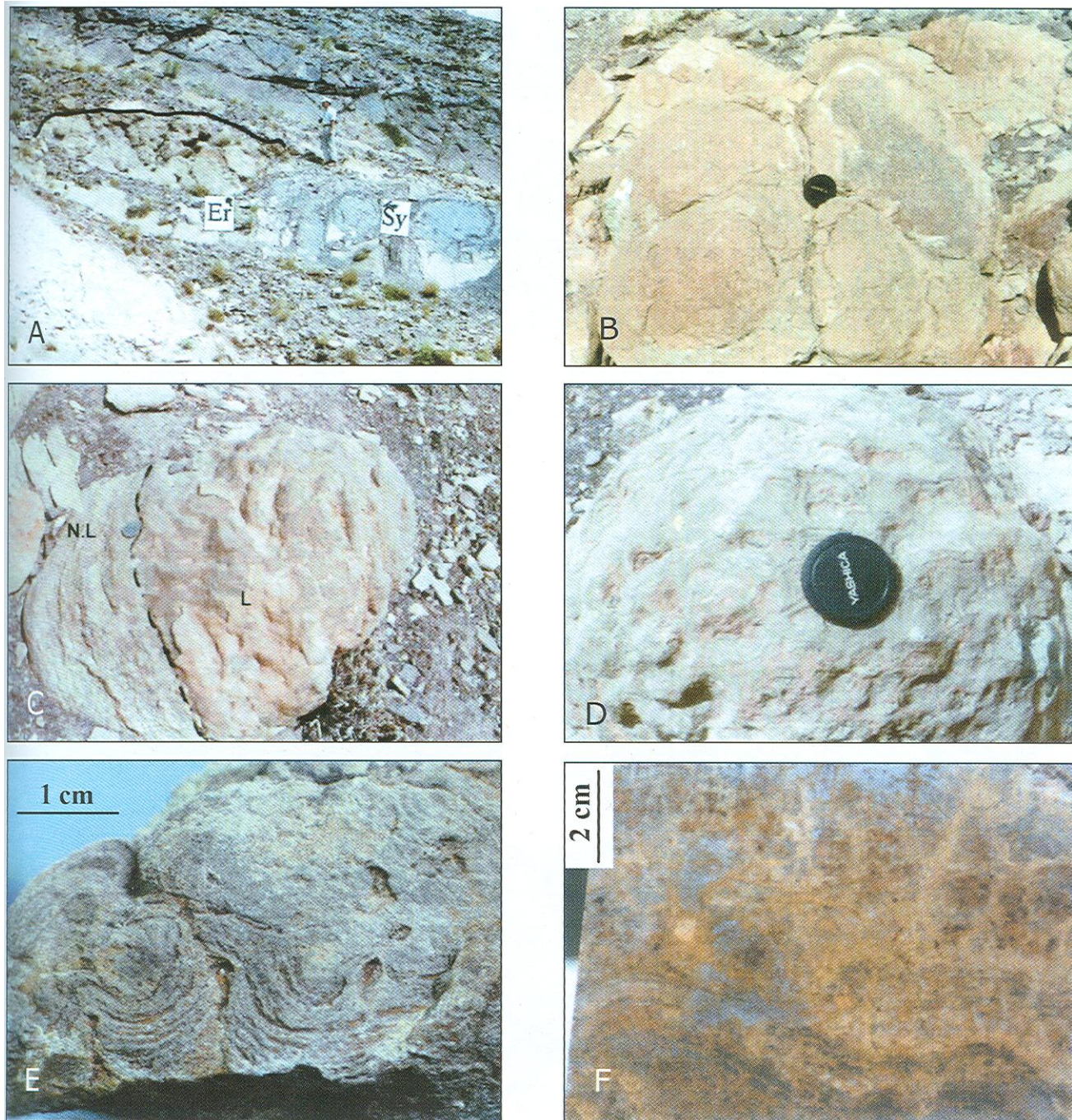
شکل ۲: a: نمای دور از واحد شیلی، در شکل مرز پایینی این واحد با واحد ماسه‌سنگی سازند لالون (سوی راست خط چین) و افقهای بیوه‌رمی (Bi) در داخل شیلهای رنگی (Sh) دیده می‌شوند، دید به سوی شمال خاور. b و c - نشانه‌های فسیلی در مرز واحدهای شیلی و ماسه‌سنگی سازند لالون. d - ساخت سینه‌رسیس (Sy) در مرز واحدهای ماسه‌سنگی و شیلی سازند لالون. این ساخت درنتیجه تغییر شیمی آبها پدید می‌آید. e - دانه اثویید با فابریکهای شعاعی و متعددالمرکز. f - نمایی دور از تناوب لایه‌های شیلی با لایه‌های ماسه‌سنگی (بالای چینه‌شناصی به سوی چپ عکس، دید به سوی جنوب).



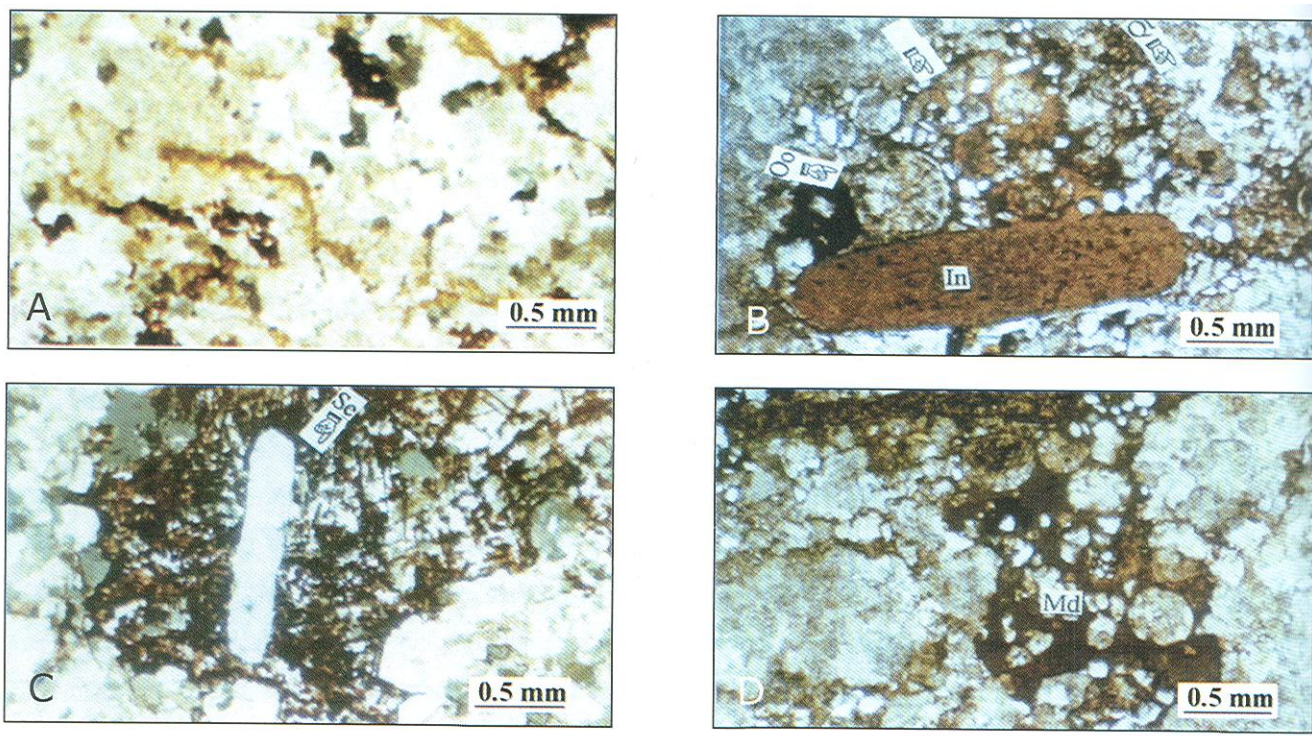
شکل ۳: رخساره گرینستون اثوییدی قلوه دار که در آن قلوه های شیلی سبز رنگ (Sh) دیده می شوند. پدیده نوریخت زایی سبب شده است فقط سایه ای از اثوییدها (انگشت اشاره) باقی بماند، نور طبیعی.



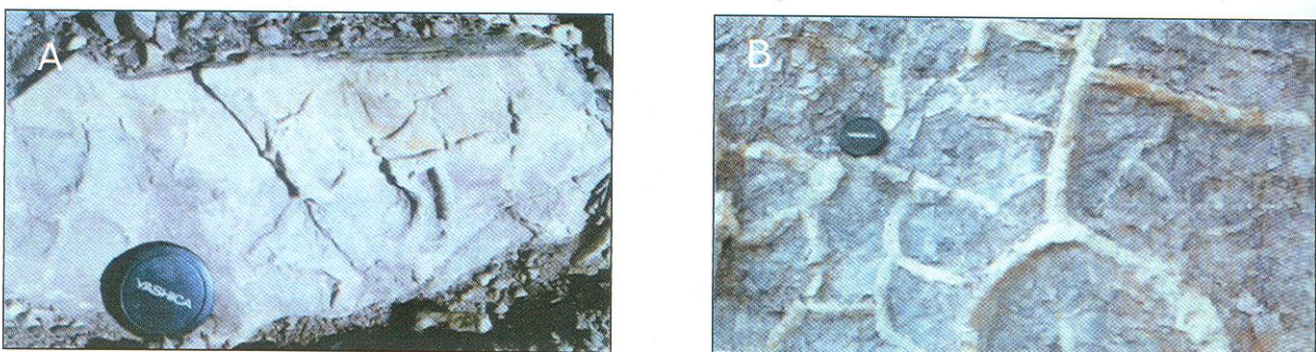
شکل ۴: a- عکس صحرایی نخستین افق میکروبیولیتی واحد شیلی. b- تناوب میکروبیولیتهای لامینه ای (فلش اشاره به آن دارد) با رخساره گرینستون دولومیتی (G). c- ساختار میکروسکوپی میکروبیولیتها که فابریک بدون لامینه (Cl) را نشان می دهد. میان این فابریک را سیمان اسپاری با فابریک دروزی (Sp) پر کرده است، نور طبیعی.



شکل ۵: a-نمای دور از بیوه رمهای افق دوم واحد شیلی. در شکل سطح فرسایشی بالای بیوه رمهای (Er) و جایگاه ترکهای سینه رسیس (Sy) نسبت به افق بیوه می دیده می شود (دید به سوی شمال باختری و پایین چینه شناسی). b-نمای نزدیک از بیوه رمهای به هم چسبیده افق دوم واحد شیلی. c-رخساره میکرو بیولیت افق دوم واحد شیلی که میکرو بیولیتهای بدون لامینه (NL) با لامینه های میکرو بیولیتی (L) پوشیده شده است d-بیوه رمهای جدا از هم افق دوم واحد شیلی با لامینه های میکرو بیولیتی. e و f-نمونه های دستی و صیقلی میکرو بیولیتهای لامینه ای افق دوم واحد شیلی.



شکل ۶: عکس مقطع های میکروسکوپی باندستون میکروبیولیتی. a- میکروبیولیتهاي لامینه ای افق دوم واحد شیلی که به شدت دولومیتی شده و سایه ای از میکروبیولیتها باقی مانده است، نور پلازیزه. b- دانه های اتوید (Oo)، ایتراکلاست (In) کوارتز (Qt) دیده می شوند. c- کانی سلنیت (Se) در یک زمینه دولومیتی، نور پلازیزه. d- رسوبات گلی (Md) به تله افتاده در بیوه رمهها، نور پلازیزه.



شکل ۷: a- ترکهای گلی ارتوجونال که در لایه های با شیب بیشتر از ۵ درجه پدیدار می شوند. b- نمای نزدیک از ترکهای سینه رسیس در بالای میکروبیولیتهاي افق دوم واحد شیلی (شکل ۵a)، این ترکها به علت تغییر شیمی آب پدید آمده اند.

کتابنگاری

- اطلس راههای ایران، ۱۳۸۰، انتشارات سازمان گیتاشناسی، ۲۵۶ صفحه.
امین رسولی، ۱۳۷۸، بررسی میکروفاسیس ها، محیط های رسوبی و چینه شناسی توالی های واحد های شیلی و کوارتزیت بالایی سازند لالون و عضو ۱ و ۲ سازند میلا در البرز شرقی. پایان نامه کارشناسی ارشد، دانشگاه تربیت معلم، ۱۷۸ صفحه.
راسنگار، ل، ۱۳۷۹، بررسی میکروفاسیس ها، محیط رسوبی و چینه نگاری سکانسی سازند میلا در البرز غربی، آذربایجان شرقی (عجب شیر). پایان نامه کارشناسی ارشد، دانشگاه تربیت معلم، ۹۳ صفحه.

- طهماسبی، ع. ر.، ۱۳۷۶- بررسی میکروفاسیس‌ها، محیط‌های رسوبی و چینه‌شناسی توالی‌های بخش‌های زیرین و میانی سازند الیکا در شرق البرز مرکزی. پایان‌نامه کارشناسی ارشد، دانشگاه تربیت معلم، ۱۲۳ صفحه.
- لامسی، ی.، ۱۳۷۸- تشکیل پروتوپلائرتیس و حاشیه واگرای اواخر پرکامبرین بالائی تا اردوبویسین در شمال شرق گندوانا. خلاصه مقالات هجدهمین گردهمایی علوم زمین، صفحه ۹۲-۸۸.
- لامسی، ی.، ۱۳۷۹- رخساره‌ها، محیط‌های رسوبی و چینه‌نگاری سکانسی نهشته سنگ‌های پرکامبرین بالائی و پالئوزوئیک ایران، سازمان زمین‌شناسی و اکتشافات معدنی کشور، شماره ۷۸، ۱۸۰ صفحه.
- لامسی، ی.، و امین‌رسولی، ۵.، ۱۳۷۸- بررسی میکروفاسیس‌ها، محیط‌های رسوبی و چینه‌شناسی توالی‌های واحد‌های شیلی و کوارتزیت بالائی سازند لالون. در خلاصه مقالات سومین همایش انجمن زمین‌شناسی ایران، صفحه ۵۵۶-۵۵۳.
- لامسی، ی.، و امین‌رسولی، ۵.، ۱۳۷۹- رخساره‌های کربناته دریای کم ژرف‌در واحد شیلی سازند لالون: یافته‌های نو در منطقه تویه- دروار، باخته البرز خاوری. خلاصه مقالات نوزدهمین گردهمایی علوم زمین.
- لامسی، ی.، و امین‌رسولی، ۵.، ۱۳۸۱a- ناپیوستگی فرسایشی در بالای کوارتزیت بالائی سازند لالون: گواهی بر اینکه کوارتزیت بالائی واحد کوارتزیت پایینی سازند میلان است. مجموعه مقالات بیست و یکمین گردهمایی علوم زمین، صفحه ۲۳۷.
- لامسی، ی.، و امین‌رسولی، ۵.، ۱۳۸۱b- چینه‌نگاری سکانسی سنگ‌های سرانجام پرکامبرین تا اردوبویسین میانی (ابر چرخه ساک) در کوه‌های البرز. مجموعه مقالات بیست و یکمین گردهمایی علوم زمین، صفحه ۵۳۳.
- لامسی، ی.، و امین‌رسولی، ۵.، ۱۳۸۲- بررسی میکروفاسیس‌ها، محیط‌های رسوبی و چینه‌نگاری سکانسی واحد‌های شیلی و کوارتزیت بالائی سازند لالون در البرز شرقی. فصلنامه علمی- پژوهشی علوم زمین، وزارت صنایع و معادن، سازمان زمین‌شناسی و اکتشافات معدنی کشور، شماره ۴۷-۴۸، صفحه ۴۸-۶۷.
- لامسی، ی.، لطف‌پور، م. و طهماسبی، ع. ر.، ۱۳۷۷- بررسی رخساره‌های ترومبویتی ایران از دیدگاه پالنواکلولوژی و چینه‌شناسی توالی‌ها. خلاصه مقالات دومین همایش انجمن زمین‌شناسی ایران، صفحه ۴۰۷-۴۰۲.

References

- Assereto, R., 1963- The Paleozoic formations in central Alborz Iran. Riv. Ital., Paleont., 6: 503-543.
- Bourque, P. A., Madi, A. & Mamet, B. L., 1995- Waulsortain-type bioherm development and response sea level fluctuation. Upper Visean of Beachar Basin, Western Algeria. J. Sediment. Res., B65: 80 - 95.
- Brett, C., 1995- Sequence stratigraphy, biostratigraphy and taphonomy in shallow marine environments. Palaios, 10: 597-616.
- Brown, L. F., 1993- Seismic and sequences stratigraphy: Its current Status and growing role in exploration and development. AAPG 78 th, Annual Convention, New Orleans Geological Society, Short Course, n. 5.
- Collinson, J. D. & Thompson, D. B., 1989- Sedimentary Structures. 2nd Ed., Allen & Unwin, London, 194P.
- Dalrymple, R. W., Zaitlin, B. A. & Boyd, R., 1992- Estuarine facies models: Conceptual basis and stratigraphic implications. J. Sediment. Petrol., 62: 1130- 1146.
- Davis, R. A., 1985- Coastal Sedimentary Environments (ed.). Springer-Verlag, Berlin, 716P.
- Debrenne, F. & James, N. P., 1981- Reef- associated archaeocyathans from the Lower Cambrian of Labrador and Newfoundland. Palaeontology, 24 (2), 343-378
- Emery, D. & Myers, K. J., 1996- Sequence Stratigraphy. Oxford, Blackwell Science, 297 p.
- Glumac, B. & Walker, K. R., 1997- Selective dolomitization of Cambrian microbial carbonate deposits: A key to mechanisms and environments of origin. Palaios., 12: 98- 110.
- Haq, B. U., Hardenbol, J. & Vail, P. R., 1988- Mesozoic and Cenozoic chronostratigraphy and cycles of sea level change. In: Sea Level Changes: An intergrated approach. SEPM, 42: 71-108.
- Hunt, D. & Tucker, M. E., 1995- Stranded parasequences and the forced regressive wedge systems tract: deposition during base level fall- reply. Sediment. Geol., 95: 147-160.
- James, N. P., 1983- Reef Environment. In: P. A. Scholle, D. G. Bebout & C. H. Moore (eds.), Carbonate Depositional Environments. AAPG, Mem., 33: 345-440.
- Kennedy,D.M. & Woodroffe,C.D.,2002- Fringing reef growth and morphology:a review. Earth-Science Reviews, 57: 255-277.
- Kiessling, W. & Flügel, E., 2002- Paleoreefs- a database on Phanerozoic. In: W. Kiessling, E. Flügel & J. Golonka (eds.) Phanerozoic Reef Patterns. SEPM Special Publication, 72, pp. 77-92.
- Koerschner, W. F. & Read, J. F., 1989- Field and modeling studies of Cambrian Carbonate Cycles, Virginia Appalachians. J. Sediment. Petrol., 59: 654- 687.

- Lasemi, Y., 1995- Depositional systems and sequence stratigraphy of the Cambro- Ordovician Mila Formation in the Alborz Mountains, Northern Iran. 1st SEPM. Cong. On Sediment. Geol. (Abstr.), P: 82.
- Miall, A. D., 2000- Principles of Sedimentary Basin Analysis. Springer-Verlag, 616p.
- Plint, A.G. & Nummedal, D., 2000- The falling stage systems tract: Recognition and importance in sequence stratigraphic analysis. In: Sedimentary responses to forced regressions, ed by D. Hunt and R.L.G. Gawthorpe. Geological Society of London, Special Publication, 172, 1-17.
- Rees, M. N., Pratt, B. R. & Rowell, A. J., 1989- Early Cambrian reefs, reef complexes, and associated lithofacies of the Shackleton Limestone, Transantarctic Mountains. *Sedimentology*, 36: 341-361.
- Riding, R., 1991- Classification of microbial carbonates. In: R. Riding (ed.) *Calcareous Algae and Stromatolites*. Berlin, Springer, pp; 21-51.
- Riding, R., 2002- Structure and composition of organic reefs and carbonate mud mounds: Concepts and categories. *Earth-Science Reviews* 58: 163-231.
- Rowland, S. M. & Gangloff, R. A., 1988- Structure and paleogeology of Lower Cambrian reefs. *Palaios*, 3: 111-135.
- Rowland, S. M., 1984 - Were there framework reefs in the Cambrian? *Geol.*, v. 12: 181-183.
- Seslavinskey, K. B. & Maidanskaya, I. D., 2001- Global Facies Distributions from Late Vendian to Mid-Ordovician. In: *The Ecology of the Cambrian Radiation*. New York, Columbia University Press, 2001.
- Soudry, D. & Weissbrod, T., 1995- Morphogenesis and facies relationships of thrombolites and siliciclastic stromatolites in Cambrian tidal sequence (Elat Area). *Palaeogeogr. Palaeoclimato. Palaeoeco.*, 114: 339- 355.
- Vail, P. R., Mitchum, R. M., Jr., Todd, R. G., Widmier, J. M., Thompson, S., III, Sangree, J. B., Bubb, J. N., and Hatlelid, W. G., 1977- Seismic stratigraphy and global changes of sea-level, in AAPG Memoir 26, p. 49-212.
- Zinke, J., Reijmer J. J. G. & Thomassin B. A., 2003- Systems tracts sedimentology in the lagoon of Mayotte associated with the Holocene transgression. *Sedimentary Geology*, 160: 57-79.

*گروه زمین‌شناسی دانشگاه تربیت معلم تهران

*Dep. of Geology, Tarbiat Moallem University, Tehran